

DM 9224

Detalle de alternancia de  
pizarras y grauvacas del C.E.G.  
(6) con ligeros repliegues  
tardios en las proximidades a  
Abadia



DM 9225

Detalle de niveles de pizarras grises con clara S<sub>1</sub> (C.E.G. 6)



DM 9226

Vista parcial de niveles grauvaquicos y pizarrosos del C.E.G. (6)



DM 9227

Detalle de superficie de ripples de la foto anterior



DM 9228

Vista parcial de los sedimentos del C.E.G. con metamorfismo de contacto (1)

DM 9229

Detalle de la foto anterior  
donde se aprecia como la  $S_1$   
tiene menor buzamiento que la  
 $S_0$ .





DM 9231

Detalle de corneana en los sedimentos del C.E.G. (1) en afloramientos de la foto anterior



DM 9230

Panoramica del contacto entre los granitos (5) y los materiales del C.E.G. (1) en las proximidades a Guijo de Granadilla



DM 9232

Vista parcial de granitos biotíticos ( $\pm$  corderita  $\pm$  moscovita) porfídicos (5) al E de Guijo de Grandilla



DM 9233

Detalle de las facies graníticas de la foto anterior



DM 9234

Vista parcial de granitos de dos micas ( $\pm$  sillimanita) con carácter porfídico variable  
(4) al E de Guijo de Granadilla



DM 9235

Detalle de las facies de la foto anterior



DM 9236

Panoramica de parte de los Montes de Tras la Sierra correspondiente, en esta zona, a relieves en facies graniticas de dos  
micas ( $\pm$  sillimanita) con carácter porfidico variable (4)



DM 9237

Detalle de granitos de dos micas ( $\pm$  sillimanita) con carácter porfidico variable (4)



DM 9238

Detalle de granitos de dos micas ( $\pm$  sillimanita) (4) con abundantes megacristales



DM 9239

Panoramica de la cuenca terciaria de Zarza de Granadilla. En primer plano arcosas del Sector I (7) y al fondo los Montes de Tras la Sierra (area granitica de Bejar-Plasencia)



DM 9240

Vista parcial de arcosas y arcillas (7) de la cuenca terciaria de Zarza de Granadilla



DM 9241

Detalle de arcosas de la foto anterior

de fácies de banda de la cuenca uruguaya



DM 9242

Vista parcial de arroyo meandriforme discurriendo sobre las facies arcosicas en la cuenca terciaria de Zarza de Granadilla



DM 9243

Panoramica de explotación abandonada de facies de borde de la cuenca terciaria de Zarza de Granadilla (8)



DM 9244

Panoramica de arenas y gravas (8) que constituyen las facies de borde de la cuenca terciaria de Zarza de Granadilla



DM 9245

Vista parcial de diversos ciclos positivos de la foto anterior



DM 9246

Detalle de la parte superior, con cantos dispersos, de uno de los ciclos de la foto anterior



DM 9247

Detalle de la base de un ciclo



DM 9248

Vista parcial de terraza del río Alagón situada a 100-105 m del cauce actual (12)



DM 9249

Detalle de cantes de cuarcita y arenisca, de la foto anterior



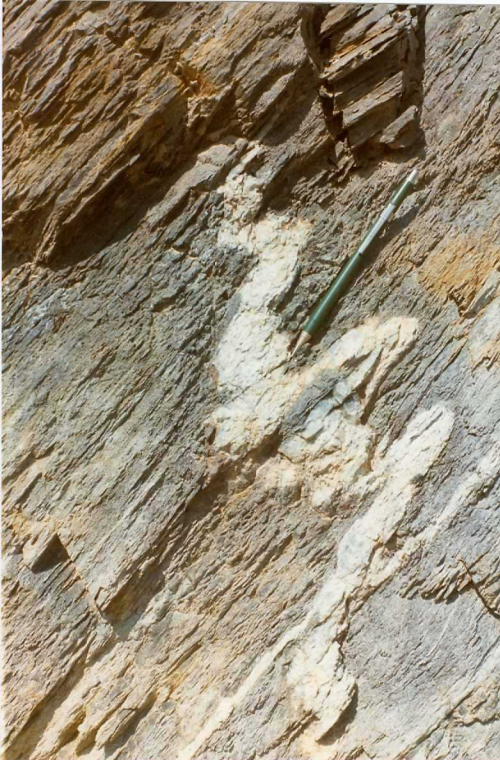
DM 9250

Panoramica de superficies de terrazas del Río Alagón. En primer plano terraza (12) que da lugar al replano de la Meseta Alta, al fondo a la izquierda el Cerro de Valdelajara (Terraza 9) y a la derecha Mesa de Monfrontin (Terraza 10)



DM 9251

Detalle de S<sub>1</sub> con mas buzamiento que la So en pizarras negras del C.E.G.



DM 9252

Detalle de repliegues de Fase  
1 en un nivel de cuarzo



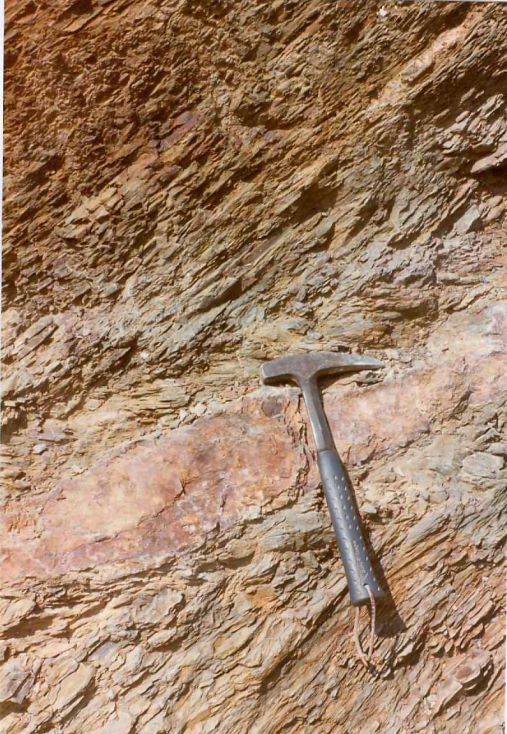
DM 9253

Vista parcial de materiales del C.E.G. afectados por fracturas subvertientes de dirección subparalelas con la So



DM 9254

Vista parcial de dique de cuarzo rellenando una fractura inversa en los materiales del C.E.G.



DM 9255

Detalle de la foto anterior



DM 9256

Vista parcial de fracturación en facies graníticas al E de Guijo de Granadilla



DM 9257

Vista parcial de fracturación e incipiente formación de bolos en las facies graníticas al E de Zarza de Granadilla



DM 9258

Vista parcial de granitos deformados al S de Hervas



DM 9259

Detalle de planos S en la foto anterior